

ДЕФОРМАЦИЯ ЖИДКОЙ ЛИНИИ ПРИ СОУДАРЕНИИ СТРУЙ

M. V. Рубцов

(*Красноярск*)

При изучении соударения металлических пластин, ускоренных взрывом, важное значение имеет исследование пластических деформаций в зоне соударения.

В [1] изложена методика исследований деформации при сварке взрывом в режиме волнообразования, заключающаяся в запрессовке в металлическую пластинку тонкой проволочки. При соударении пластины текущий металл увлекает за собой проволочку, изменение формы последней позволяет судить о характере пластической деформации в зоне соударения. Из исследования деформации проволочек находятся такие важные характеристики, как вязкость металлов.

Изложенная в [1] методика является одним из немногих способов исследования деформации металлов при высокоскоростных соударениях. Трудности исследования связаны с малыми временами протекания процесса и высокими давлениями, развивающимися при взрыве и разрушающими экспериментальную установку. В [1] из анализа вязкого течения при соударении пластин выведена зависимость смещения проволочки от расстояния до границы раздела материалов, описываемая параболой. Отмечается, что вблизи границы раздела теоретические и экспериментальные результаты существенно отличаются. Представляется важным сделать попытку теоретического анализа деформации проволочки, если при соударении металлических пластин образуется струя и граница раздела материалов является ровной. Течение в этом случае сильно отличается от течения в режиме волнообразования [2], и вблизи границы раздела форма проволочки не может описываться параболической зависимостью, вероятно, эта зависимость будет экспоненциальной. Для описания течения с образованием струи в [3] привлекается модель идеальной жидкости. Поскольку анализ соударения вязких струй со свободной границей связан с серьезными трудностями, в первом приближении целесообразно рассмотреть задачу о деформации жидкой линии при соударении идеальных струй [4].

1. Пусть имеется область пространства, занятая плоским стационарным потоком идеальной жидкости, и в момент времени t_0 выделен объем жидкости, ограниченный замкнутой кривой линией

$$(1.1) \quad f_0(z_0) = c,$$

где z_0 — комплексная координата; c — комплексная постоянная. С течением времени выделенный жидкий объем будет изменять свою форму, перемещаясь вместе с потоком как целое. Поставим задачу о нахождении формы жидкого объема в некоторый момент времени t . Координата отдельной лагранжевой частицы при движении удовлетворяет интегральному уравнению

$$(1.2) \quad z(t) = z_0 + \int_{t_0}^t \bar{\zeta}(z(t)) dt,$$

где $\zeta(z)$ — комплексно-сопряженная скорость, определяемая через комплексный потенциал $w = \varphi + i\psi$,

$$(1.3) \quad dw/dz = \zeta.$$

Назовем жидкой линией $f(z, t)$ границу объема. Используя (1.2), запишем

$$(1.4) \quad f(z, t) = f_0 \left(z - \int_{t_0}^t \bar{\zeta}(z) dt \right) = c.$$

Записанное в общем виде выражение (1.4) для формы жидкого объема в момент времени t невозможно использовать при решении конкретных задач. Это связано с тем обстоятельством, что при заданном виде функции $f_0(z_0)$ можно выписать функцию $f(z, t)$, когда решено интегральное уравнение (1.2). Решение же (1.1) возможно не при всякой функции $\bar{\zeta}(z)$, и сама функция $\bar{\zeta}(z)$ выписывается в явном виде только для простейших случаев стационарных течений.

Более удобно рассматривать движение жидкого объема в плоскости w . Поскольку $w(z)$ — аналитическая функция, занятая жидким объемом, область физической плоскости соответствует некоторой области в плоскости w , ограниченной замкнутой кривой $f(z(w), t) = F(w, t) = c$, и движение в физической плоскости сопровождается движением в плоскости w .

Представим границу $F(w, t) = c$ состоящей из нескольких однозначных кривых линий $\Phi_i(\psi)$. Очевидно, что для решения задачи о нахождении формы жидкого объема достаточно уметь определять форму произвольной однозначной жидкой линии $\Phi(\psi)$ в произвольный момент времени и знать закон преобразования $z(w)$. В дальнейшем везде, вплоть до конечного результата, обсуждается задача о деформации жидкой линии, так как составить замкнутый объем из нескольких однозначных линий $\Phi_i(\psi)$ не представляет трудности.

Определим скорость лагранжевой частицы в плоскости w

$$(1.5) \quad \frac{dw}{dt} = \frac{dw}{dz} \frac{dz}{dt} = |\zeta(\varphi, \psi)|^2 = \frac{d\varphi}{dt},$$

откуда следует, что движение в плоскости w проходит по прямым горизонтальным линиям и вначале однозначная функция $\Phi(\psi)$ при движении остается однозначной.

Введем функцию $\xi = \omega - i\theta$, согласно условию $\xi = \ln \zeta$. Так как $w(\xi)$ — аналитическая функция, то

$$(1.6) \quad \frac{\partial \varphi}{\partial \theta} = \frac{\partial \psi}{\partial \omega}, \quad \frac{\partial \varphi}{\partial \omega} = - \frac{\partial \psi}{\partial \theta}.$$

Выведем уравнение, описывающее изменение производной $d\Phi(\psi)/d\psi$ при движении. Дифференцируя (1.5) по ψ , можно получить уравнение

$$\frac{d}{d\psi} \frac{d\Phi(\psi)}{dt} = 2 \left(\frac{\partial \omega}{\partial \varphi} \frac{d\Phi}{d\psi} + \frac{\partial \omega}{\partial \psi} \right) e^{2\omega}.$$

Изменив в левой части уравнения порядок дифференцирования, подставив $e^{2\omega} d/d\varphi$ вместо d/dt и обозначив $d\Phi(\psi)/d\psi$ через $\delta(\varphi)$, придем к обыкновенному дифференциальному уравнению

$$(1.7) \quad \frac{d\delta(\varphi)}{d\varphi} = 2 \left(\frac{\partial \omega}{\partial \varphi} \delta(\varphi) + \frac{\partial \omega}{\partial \psi} \right).$$

Решение (1.7) методом вариации постоянных дает выражение

$$(1.8) \quad \delta(\varphi) - \delta(\varphi_0) = 2e^{2\omega} \int_{\varphi_0}^{\varphi} \frac{\partial \omega}{\partial \psi} e^{-2\omega} d\varphi.$$

Ввиду того, что по известной производной всегда можно восстановить искомую функцию, (1.8) в принципе дает ответ на поставленную задачу о нахождении формы жидкой линии в процессе движения. Результат (1.8) применим для любого плоского потенциального течения идеальной жидкости, когда аналитическая функция $w(\xi)$ задает взаимно-однозначное отображение областей течения в плоскостях w и ξ .

2. В случае движения в бесконечных пределах при соударении струй, используя (1.3), (1.8), можно написать

$$\varphi_0 = -\infty, \varphi = \infty, e^{i\omega(\pm\omega, \psi)} = V^2.$$

Тогда

$$(2.1) \quad \delta(\infty) = \delta(-\infty) + 2V^2 \int_{-\infty}^{\infty} \frac{\partial \omega}{\partial \psi} e^{-2\omega} d\varphi.$$

Из (2.1) получается выражение для конечной формы жидкой линии

$$(2.2) \quad \Phi(\psi)_{\infty} = \Phi(\psi)_{-\infty} + 2V^2 \int_{\psi_0}^{\infty} \int_{-\infty}^{\infty} \frac{\partial \omega}{\partial \psi} e^{-2\omega} d\varphi d\psi$$

при условии $\Phi(\psi_0)_{-\infty} = 0$ (ψ_0 — значение функции тока на свободной границе).

Для практического исследования (2.2) удобно перейти в (2.1) к интегрированию в плоскости (ω, θ) . Так как интегрирование в (2.1) ведется при $\psi = \text{const}$, то

$$\frac{\partial \psi}{\partial \omega} d\omega + \frac{\partial \psi}{\partial \theta} d\theta = 0$$

и

$$(2.3) \quad \frac{d\omega}{d\theta} = -\frac{\partial \psi / \partial \theta}{\partial \psi / \partial \omega}.$$

Выражение для $d\varphi$ получим в виде

$$d\varphi = \frac{\partial \varphi}{\partial \theta} \left(\frac{d\omega}{d\theta} \frac{\partial \varphi / \partial \omega}{\partial \varphi / \partial \theta} + 1 \right) d\theta,$$

а с учетом (1.6), (2.3) получим окончательно

$$(2.4) \quad d\varphi = \frac{\partial \varphi}{\partial \omega} \left(1 + \left(\frac{d\omega}{d\theta} \right)^2 \right) d\theta.$$

Используя якобиан преобразования, найдем значение $\frac{\partial \omega}{\partial \psi} \frac{\partial \psi}{\partial \omega}$

$$\frac{\partial(\omega, \varphi)}{\partial(\psi, \varphi)} \frac{\partial(\psi, \theta)}{\partial(\omega, \theta)} = \frac{\partial(\omega, \theta)}{\partial(\psi, \varphi)} \frac{\partial(\omega, \varphi)}{\partial(\omega, \theta)} \frac{\partial(\psi, \theta)}{\partial(\omega, \theta)} = \frac{1}{\frac{\partial(\varphi, \psi)}{\partial(\theta, \omega)}} \left(\frac{\partial \psi}{\partial \omega} \right)^2,$$

$$\frac{\partial(\varphi, \psi)}{\partial(\theta, \omega)} = \begin{vmatrix} \frac{\partial \varphi}{\partial \theta} & \frac{\partial \psi}{\partial \theta} \\ \frac{\partial \varphi}{\partial \omega} & \frac{\partial \psi}{\partial \omega} \end{vmatrix} = \left(\frac{\partial \psi}{\partial \omega} \right)^2 \left(1 + \left(\frac{d\omega}{d\theta} \right)^2 \right),$$

откуда

$$(2.5) \quad \frac{\partial \omega}{\partial \psi} \frac{\partial \psi}{\partial \omega} = \frac{1}{1 + \left(\frac{d\omega}{d\theta} \right)^2}.$$

5*

Подставляя (2.4) в (2.1) и принимая во внимание (2.5), получим

$$(2.6) \quad \delta(\infty) = \delta(-\infty) + 2V^2 \int_{\theta(\psi)} e^{-2\omega} d\theta,$$

где $\theta(\psi)$ — траектория частицы в плоскости (ω, θ) . Зависимость $\Phi(\psi)_\infty$ теперь будет выглядеть как

$$(2.7) \quad \Phi(\psi)_\infty = \Phi(\psi)_{-\infty} + 2V^2 \int_{\psi_0}^{\psi} \int_{\theta(\psi)} e^{-2\omega} d\theta d\psi.$$

Рассмотрим конкретный пример, когда имеется стационарное симметричное течение с критической точкой при соударении двух струй одинаковой толщины и скорости (фиг. 1). Для стационарного течения с критической точкой решена задача о нахождении поля скоростей в области течения [5]. Решение записывается в виде

$$(2.8) \quad w = \frac{V}{\pi} \left\{ h_1 \ln \left(1 - \frac{\zeta}{a_1} \right) + h_2 \ln \left(1 - \frac{\zeta}{a_2} \right) - k_1 \ln \left(1 - \frac{\zeta}{b_1} \right) - k_2 \ln \left(1 - \frac{\zeta}{b_2} \right) \right\},$$

$$z = \frac{V}{\pi} \left\{ \frac{h_1}{a_1} \ln \left(1 - \frac{\zeta}{a_1} \right) + \frac{h_2}{a_2} \ln \left(1 - \frac{\zeta}{a_2} \right) - \frac{k_1}{b_1} \ln \left(1 - \frac{\zeta}{b_1} \right) - \frac{k_2}{b_2} \ln \left(1 - \frac{\zeta}{b_2} \right) \right\},$$

где h_1, h_2, a_1, a_2 — толщина набегающих струй на бесконечности; k_1, k_2, b_1, b_2 — то же самое для расходящихся струй. В рассмотренном конкретном примере нужно положить

$$(2.9) \quad h_1 = h, a_1 = V e^{i\gamma}, h_2 = h, a_2 = V e^{-i\gamma},$$

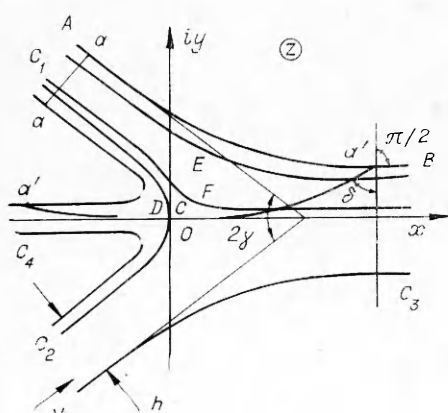
$$k_1 = h(1 + \cos \gamma), b_1 = V, k_2 = h(1 - \cos \gamma), b_2 = V e^{i\pi},$$

где γ — половинный угол соударения; V — модуль скорости струй на бесконечности.

Пусть в одной из струй, например в струе C_1 , замечена первоначально прямая жидккая линия $a-a$ (см. фиг. 1), перпендикулярная свободным границам. Это означает, что в (2.7) член $\Phi(\psi)_{-\infty} = 0$. По мере движения линия $a-a$ будет деформироваться, часть ее уйдет в струю C_3 , а часть в C_4 . При удалении на бесконечность части линии, ушедшие в расходящиеся струи, примут определенную форму.

Проведем расчет конечной формы линии, ушедшей, например, в струю C_3 .

В плоскости комплексного потенциала жидккая линия будет двигаться в полосе $-hV(1 - \cos \gamma)/2 \leq \psi \leq hV(1 + \cos \gamma)/2$ с разрезом вдоль положительной полуоси $\psi = 0$ по линиям $\psi = \text{const}$. Согласно (1.4), (1.5), линия $a-a$ при $\varphi = -\infty$ изображается вертикальной линией $\varphi = \text{const}$ и движется со скоростью V^2 в положительном направлении, а форма ее в плоскости w совпадает с формой в плоскости z с точностью до нормировочной постоянной. Если



Фиг. 1

скорость ζ в любой точке области течения принять равной $Vv e^{-i\theta}$, то относительная скорость v в любой точке (φ, ψ) определяется из системы уравнений

$$(2.10) \quad \begin{aligned} \frac{2\pi\varphi}{hv} &= \ln(1 - 2v \cos(\gamma - \theta) + v^2) + \ln(1 - 2v \cos(\gamma + \theta) + v^2) - \\ &- (1 + \cos\gamma) \ln(1 - 2v \cos\theta + v^2) - (1 - \cos\gamma) \ln(1 + 2v \cos\theta + v^2), \\ \frac{\pi\psi}{hv} &= \operatorname{arctg} \frac{v \sin(\gamma + \theta)}{1 - v \cos(\gamma + \theta)} - \operatorname{arctg} \frac{v \sin(\gamma - \theta)}{1 - v \cos(\gamma - \theta)} - \\ &- (1 + \cos\gamma) \operatorname{arctg} \frac{v \sin\theta}{1 - v \cos\theta} + (1 - \cos\gamma) \operatorname{arctg} \frac{v \sin\theta}{1 + v \cos\theta}. \end{aligned}$$

Система (2.10) получается из первого уравнения системы (2.8) разделением действительных и мнимых частей с использованием условий (2.9). В конкретном случае симметричного соударения в (2.6) удобнее перейти к интегрированию в плоскости (v, θ) .

Так как $e^{i\omega} = V^2 v^2$, то выражение (2.6) примет вид

$$(2.11) \quad \delta(\infty) = 2 \int_{\Theta(\psi)} \frac{d\theta}{v^2}.$$

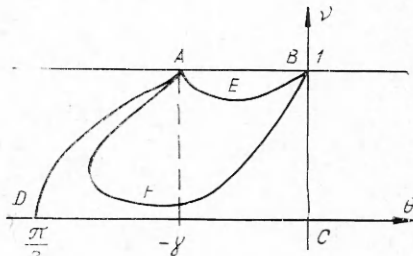
Можно представить траекторию $\Theta(\psi)$ в плоскости (v, θ) . На свободной границе $v = 1$, а $0 \geq \theta \geq -\gamma$, поэтому свободная граница представляется отрезком AB на фиг. 2. На близкой к свободной линии тока $v < 1$ всюду, за исключением точек $\varphi = \pm\infty$, а θ непрерывно увеличивается от $-\gamma$ до 0 , поэтому близкая к свободной границе линия тока будет представляться кривой AEB . На нулевой линии тока в промежутке $-\infty < \varphi \leq 0$ происходит уменьшение угла θ от $-\gamma$ до $-\pi/2$ с одновременным уменьшением v от 1 до 0 . Эта часть линии $\psi = 0$ представлена кривой AD на фиг. 2. Далее в точке O на физической плоскости происходит разворот вектора скорости на величину $\pi/2$ ($-\pi/2 \leq \theta \leq 0$) при $v = 0$, затем возрастание v от 0 до 1 при $\theta = 0$. Эта часть нулевой линии тока представлена двумя отрезками DC и CB в плоскости (v, θ) . Близкая к линии $\psi = 0$ линия тока изобразится кривой AFB . Таким образом, любая траектория $\Theta(\psi)$ в плоскости (v, θ) изображается кривой с концами в точках A и B , лежащей в криволинейной трапеции $ABCD$.

Для формы жидкой линии с учетом (2.11) получим

$$(2.12) \quad \Phi(\psi)_{\infty} = 2 \int_{\psi_0}^{\psi} \int_{\Theta(\psi)} \frac{d\theta}{v^2} d\psi.$$

Из (2.11) следует, что жидкая линия не перпендикулярна к свободной границе на бесконечности в струе C_3 :

$$\left. \frac{d\Phi}{d\psi} \right|_{\psi=\psi_0} = 2 \int_{-\gamma}^{0} d\theta = 2\gamma$$



Фиг. 2

или

$$(2.13) \quad \delta = \operatorname{arctg} 2\gamma,$$

где δ — угол между перпендикуляром к свободной границе и жидким линией n' .

В частности, для угла соударения $\gamma = \pi/2$

$$\delta = \operatorname{arctg} \pi \approx 72^\circ,$$

а для пробивания струей безграничной жидкости

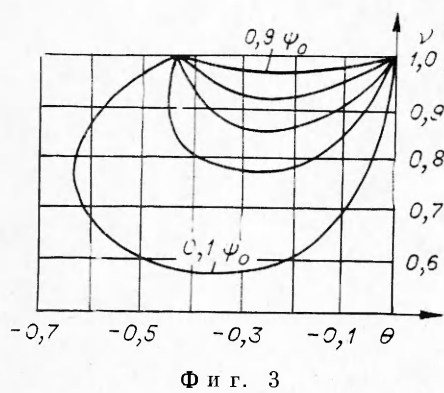
$$\delta = \operatorname{arctg} 2\pi = 81^\circ.$$

Для построения формы жидкой линии при $2\gamma = 40, 50, 60^\circ$ проводился численный счет интеграла (2.12). Рассчитывался массив значений интеграла (2.11), затем строилась зависимость (2.12) по формуле трапеций. Вычисление интеграла (2.11) начиналось из точки $v = 1, \theta = -\gamma$.

Из анализа второго уравнения системы (2.10) следует, что $dv/d\theta$ в точке A (см. фиг. 2) определяется как

$$(2.14) \quad dv/d\theta = \operatorname{ctg} \pi(\psi/hV + \cos \gamma/2).$$

С помощью (2.14) находились значения $v_1 = v_0 + \Delta v, \theta_1 = \theta_0 + \Delta\theta$ и вычислялись производные $\partial\psi/\partial v, \partial\psi/\partial\theta$, согласно формулам



Ф и г. 3

$$\begin{aligned} \frac{\partial\psi}{\partial v} &= \frac{hV}{\pi} \left(\frac{\sin(\theta + \gamma)}{1 - 2v \cos(\theta + \gamma) + v^2} + \frac{\sin(\theta - \gamma)}{1 - 2v \cos(\theta - \gamma) + v^2} - \right. \\ &\quad \left. - (1 + \cos \gamma) \frac{\sin \theta}{1 - 2v \cos \theta + v^2} + (1 - \cos \gamma) \frac{\sin \theta}{1 + 2v \cos \theta + v^2} \right), \\ \frac{\partial\psi}{\partial\theta} &= -\frac{hV}{\pi} v \left(\frac{v - \cos(\theta + \gamma)}{1 - 2v \cos(\theta + \gamma) + v^2} + \frac{v - \cos(\theta - \gamma)}{1 - 2v \cos(\theta - \gamma) + v^2} - \right. \\ &\quad \left. - (1 + \cos \gamma) \frac{v - \cos \theta}{1 - 2v \cos \theta + v^2} - (1 - \cos \gamma) \frac{v + \cos \theta}{1 + 2v \cos \theta + v^2} \right), \end{aligned}$$

и величина ψ по второму уравнению системы (2.10). Если $|dv/d\theta|$, определяемая из

$$\frac{dv}{d\theta} = -\frac{\partial\psi/\partial\theta}{\partial\psi/\partial v},$$

оказывалась больше 1, то счет велся по формуле

$$\delta(\infty) = 2 \int_{\Theta(\psi)}^{\infty} \frac{dv}{v^2} \frac{dv}{d\theta}$$

с постоянным шагом $\Delta v = d$, а величина

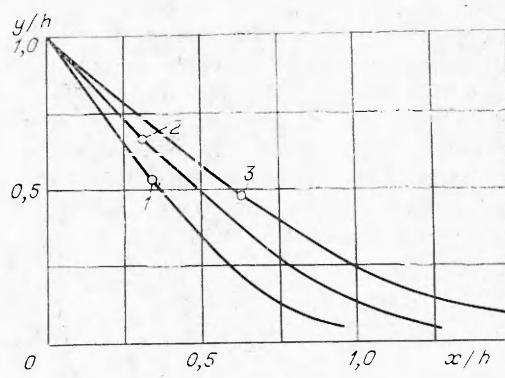
$$\Delta\theta = \Delta v / \frac{dv}{d\theta}.$$

В обратном случае счет велся по формуле (2.11) с постоянным шагом $\Delta\theta = d$ при $\Delta v = \Delta\theta dv/d\theta$. Шаг d изменялся от 0,01 до 0,005. Если отклонение $|\psi - \psi^0|$ (ψ^0 — заданная линия тока) оказывалось немалым, то при $|dv/d\theta| > 1$ находился корень уравнения $|\psi(v, \theta)| = \psi^0$ методом Ньютона при $v = \text{const}$, а при $|dv/d\theta| < 1$ находился корень при $\theta = \text{const}$. Массив значений интеграла (2.11) изменялся от 9 до 19.

Рассчитанные описанным методом траектории $\Theta(\psi)$ для $2\gamma = 50^\circ$ приведены на фиг. 3, где изображены 5 кривых $\Theta(\psi)$ со значениями от 0,9 ψ_0 до 0,1 ψ_0 с шагом $0,2\psi_0$. На фиг. 4 показана форма жидкой линии, рассчитанная по (2.12) для углов $2\gamma = 40^\circ, 50^\circ, 60^\circ$ (кривые 1—3 соответственно).

Как видно из результатов вычислений, жидкая линия после прохождения области соударения оказывается не перпендикулярной к свободной поверхности, что находится в согласии с (2.13). Вблизи границы разделя линия $\Phi(\psi)$ (или, что то же самое, $x(y)$) асимптотически приближается к оси $\psi = 0$ ($y = 0$). Из сравнения полученных результатов с экспериментом, вероятно, приближенно можно судить, в какой области реального течения состояние материала близко к состоянию невязкой несжимаемой жидкости.

Автор выражает благодарность Н. С. Козину и В. В. Ефремову за ряд ценных замечаний при обсуждении работы, Н. М. Максимовой за помощь в проведении численного счета.



Фиг. 4

Поступила 29 XI 1976

ЛИТЕРАТУРА

1. Годунов С. К., Дерибас А. А., Захаренко И. Д., Мали В. И. Исследования вязкости металлов при высокоскоростных соударениях.—ФГВ, 1971, т. 7, № 1.
2. Дерибас А. А. Физика упрочнения и сварки взрывом. Новосибирск, «Наука», 1972.
3. Лаврентьев М. А. Кумулятивный заряд и принципы его работы.—«Усп. мат. наук», 1957, т. 12, вып. 4.
4. Гуревич М. И. Теория струй идеальной жидкости. М., Физматгиз, 1961.
5. Милн-Томсон. Теоретическая гидродинамика. М., «Мир», 1964.